

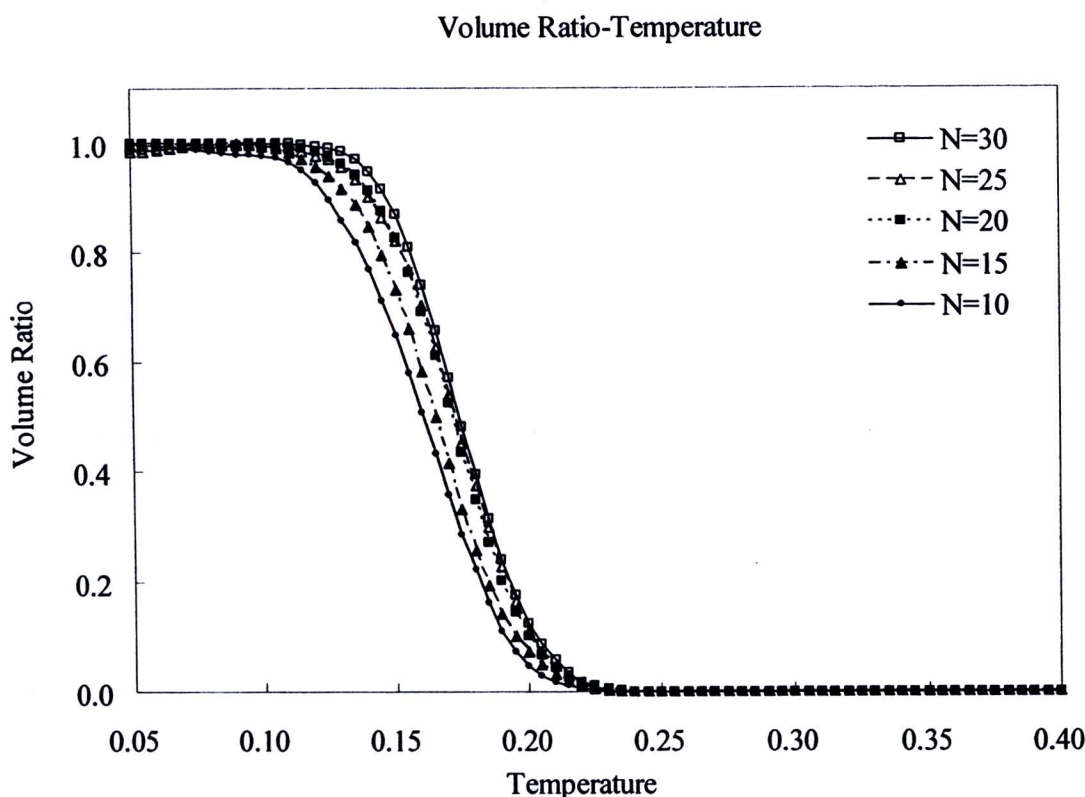
## บทที่ 4

### ผลการทดลอง

ในบทนี้เป็นการนำเสนอถึงผลของการจำลองสถานการณ์ของสถาปัตยกรรมที่มีการแพร่ในปริภูมิ 3 มิติซึ่งอันตรายของอนุภาคทั้งทางแม่เหล็กและแรงดึงระหว่างอนุภาคในระบบขึ้นอยู่กับศักยภาพของอนุภาค ระบบที่ศึกษามี 2 รูปแบบได้แก่รูปแบบที่ไม่มีสนามแม่เหล็กภายในอนุภาค กระทำต่อระบบ เป็นการศึกษาคุณสมบัติทางแม่เหล็กและสัดส่วนปริมาตรของอนุภาคแม่เหล็กที่มีการแพร่ซึ่งขึ้นอยู่กับอุณหภูมิ และจำนวนอนุภาคในระบบ ส่วนอีกรูปแบบเป็นรูปแบบที่มีสนามแม่เหล็กจากภายนอกมากระทำต่อระบบเป็นการศึกษาของอุณหภูมิที่ส่งผลกระทบต่อสภาพแม่เหล็กของระบบเทียบกับการเปลี่ยนแปลงของสนามแม่เหล็กภายนอก

#### 4.1 ระบบการแพร่อนุภาคแม่เหล็กที่ไม่มีสนามแม่เหล็กภายนอกมากระทำ

ผลการจำลองสถานการณ์ของระบบอนุภาคแม่เหล็กที่มีการแพร่ในช่วงอุณหภูมิ  $0.05 \text{ } K/k_B$  ถึง  $0.40 \text{ } K/k_B$  เมื่อพิจารณาการเปลี่ยนแปลงของสัดส่วนปริมาตรของอนุภาคแม่เหล็กที่มีการแพร่ ดังแสดงในรูป 4.1 พนว่า ที่อุณหภูมิต่ำ อนุภาคจะมีเกาะกลุ่มกันเนื่องจากสัดส่วนปริมาตรมีค่า ใกล้เคียง 1 แสดงว่าปริมาตรของระบบ ณ อุณหภูมนี้มีค่าใกล้เคียงกับปริมาตรที่อุณหภูมิ  $0.001 \text{ } K/k_B$  แต่เมื่ออุณหภูมิสูงขึ้นจนระดับหนึ่ง สัดส่วนปริมาตรเริ่มลดลง แสดงว่าอนุภาคเริ่มมีการแตกออกจากกันทำให้ปริมาตรรวมของระบบมีค่าเพิ่มขึ้น และที่อุณหภูมิประมาณ  $0.23 \text{ } K/k_B$  สัดส่วนปริมาตรเข้าใกล้ศูนย์ แสดงให้เห็นว่าอนุภาคแตกกระจายไม่เกาะกลุ่มกัน เมื่อพิจารณาระบบที่มีจำนวนอนุภาคมากกว่าจะต้องใช้อุณหภูมิที่สูงกว่าจึงจะทำให้อนุภาคแตกกระจายได้เมื่อเทียบกับระบบที่มีจำนวนอนุภาคน้อยกว่าอันเนื่องมาจากแรงยึดเหนี่ยวที่เกิดจากศักย์ของยูคาวาจะเพิ่มขึ้น เมื่อจำนวนอนุภาคมีมากขึ้น

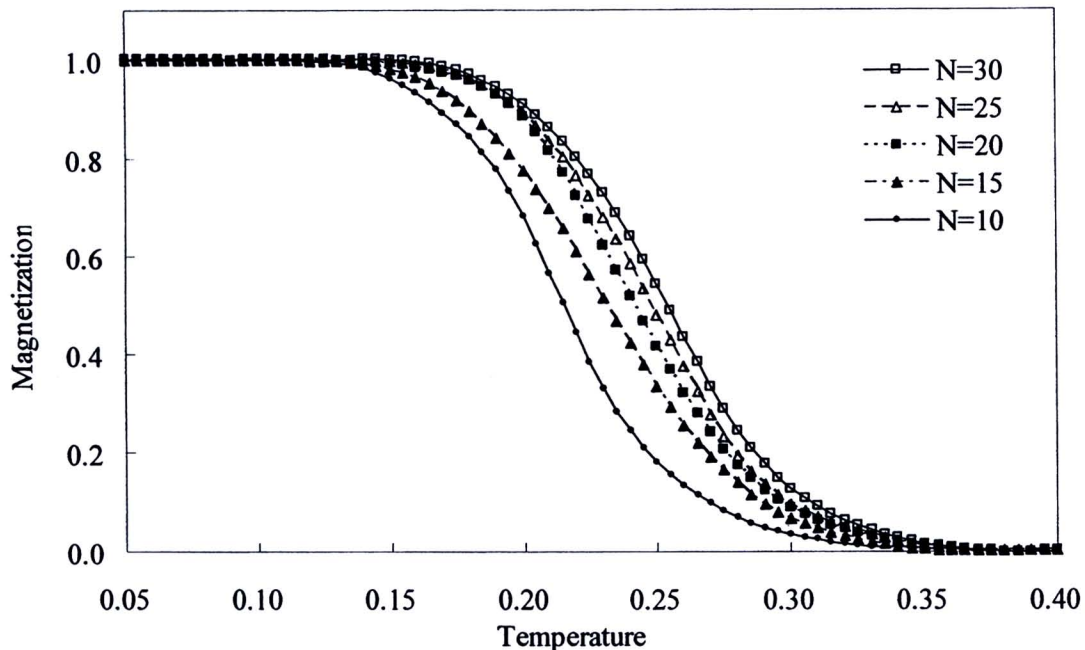


รูป 4.1 กราฟแสดงความสัมพันธ์ของสัดส่วนปริมาตร (Volume Ratio) กับ อุณหภูมิ ในช่วง  $0.05 K/k_B$  ถึง  $0.40 K/k_B$  ของระบบที่มีจำนวนอนุภาคเท่ากับ 10, 15, 20, 25 และ 30 ตัว โดยใช้ศักย์ขุาวาสมี่อน

เมื่อพิจารณากราฟความสัมพันธ์ของสภาพแม่เหล็กเทียบกับอุณหภูมิดังแสดงในรูป 4.2 พนว่า เมื่อระบบมีอุณหภูมิสูงขึ้นถึงระดับหนึ่งสภาพแม่เหล็กของระบบจะเริ่มลดลง เมื่อเทียบกับกราฟความสัมพันธ์ของสัดส่วนปริมาตรกับอุณหภูมิในรูป 4.1 พนว่า ณ อุณหภูมิที่กราฟของสัดส่วนปริมาตรค่าสูงสุด จะเป็นอุณหภูมิที่ใกล้เคียงกับอุณหภูมิที่สภาพแม่เหล็กเริ่มลดลง และ ณ อุณหภูมิที่สัดส่วนปริมาตรเข้าใกล้ศูนย์ ก็จะเป็นอุณหภูมิที่กราฟของสภาพแม่เหล็กมีความชันสูงสุด ดังนั้น การแตกกระจายของกลุ่มอนุภาคจึงมีผลต่อสภาพแม่เหล็กของระบบด้วยเนื่องจาก เมื่อ อนุภาคอยู่ชิดกันที่อุณหภูมิต่ำ อนุภาคมีอันตรกิริยาทางแม่เหล็กดีกว่าตอนที่อนุภาคอยู่ห่างกัน ซึ่งผลการทดลองที่ได้นั้นเป็นไปในทิศทางเดียวกับการจำลองสถานการณ์โดยใช้ศักย์ของ Lennard-Jones ด้วยเห็นกัน

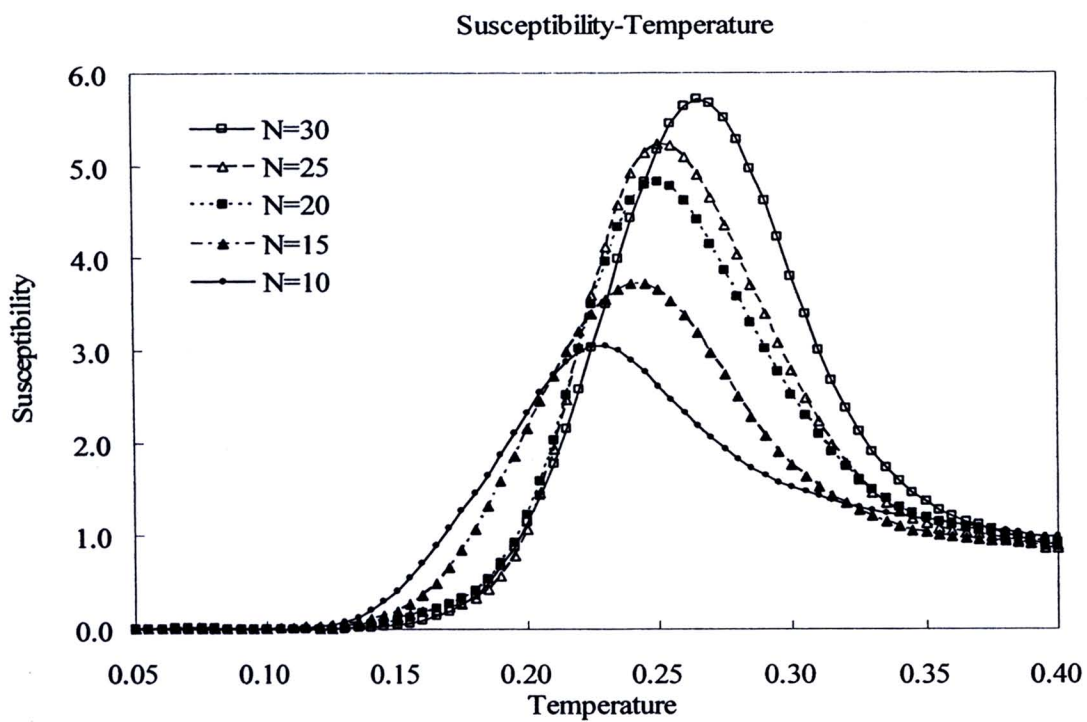


Magnetization-Temperature



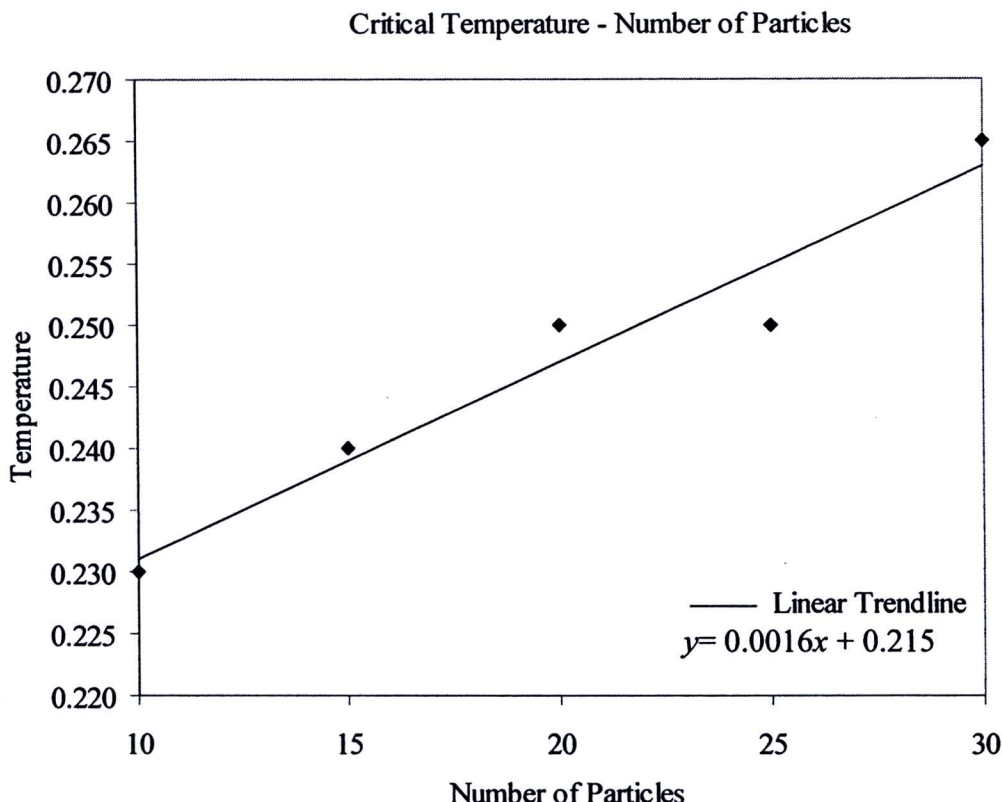
รูป 4.2 กราฟแสดงความสัมพันธ์ของสภาพแม่เหล็กของระบบ (Magnetization) กับ อุณหภูมิในช่วง  $0.05 K/k_B$  ถึง  $0.40 K/k_B$  ของระบบที่มีจำนวนอนุภาคเท่ากับ 10, 15, 20, 25 และ 30 ตัว โดยใช้ศักย์ยุคาวาเสนื่อน

หลังจากนี้พิจารณาความสัมพันธ์ของสภาพรับไว้ได้ทางแม่เหล็กซึ่งหาได้จากสภาพ แม่เหล็ก ปกติแล้วระบบที่มีขนาดอนันต์เมื่อเขียนกราฟความสัมพันธ์ของสภาพรับไว้ได้ทาง แม่เหล็กกับอุณหภูมิที่สูงขึ้นของระบบ ไอซิจ จะพบว่าที่อุณหภูมิที่ระบบเปลี่ยนเฟสจาก สภาพ แม่เหล็กแบบเฟร์โรเป็นสภาพแม่เหล็กแบบพารา ค่าของสภาพรับไว้ได้ทางแม่เหล็กจะเป็นอนันต์ แต่เนื่องจากระบบในการวิจัยนี้มีขนาดเล็กมาก สภาพรับไว้ได้ทางแม่เหล็กไม่สามารถมีค่าสูงถึง ระดับอนันต์ได้ จึงหาอุณหภูมิกритิก ( $T_c$ ) ได้จากคุณสมบุตของกราฟความสัมพันธ์ของสภาพรับไว้ ได้ทางแม่เหล็กเทียบกับอุณหภูมิดังที่แสดงในรูป 4.3 ซึ่งเป็นอุณหภูมิที่ค่าของความชันของกราฟ ความสัมพันธ์ของสภาพแม่เหล็กมีค่าสูงสุด ยิ่งจำนวนอนุภาคมากขึ้น อุณหภูมิที่ทำให้สภาพรับไว้ได้ ทางแม่เหล็กมีค่าสูงสุดจะยิ่งสูงขึ้น



รูป 4.3 กราฟแสดงความสัมพันธ์ของสภารับไว้ได้ทางแม่เหล็กของระบบ (Magnetic susceptibility) กับ อุณหภูมิในช่วง  $0.05 \text{ } K/k_B$  ถึง  $0.40 \text{ } K/k_B$  ของระบบที่มีจำนวนอนุภาคเท่ากับ 10, 15, 20, 25 และ 30 ตัว โดยใช้ศักยภาพแสเมื่อน

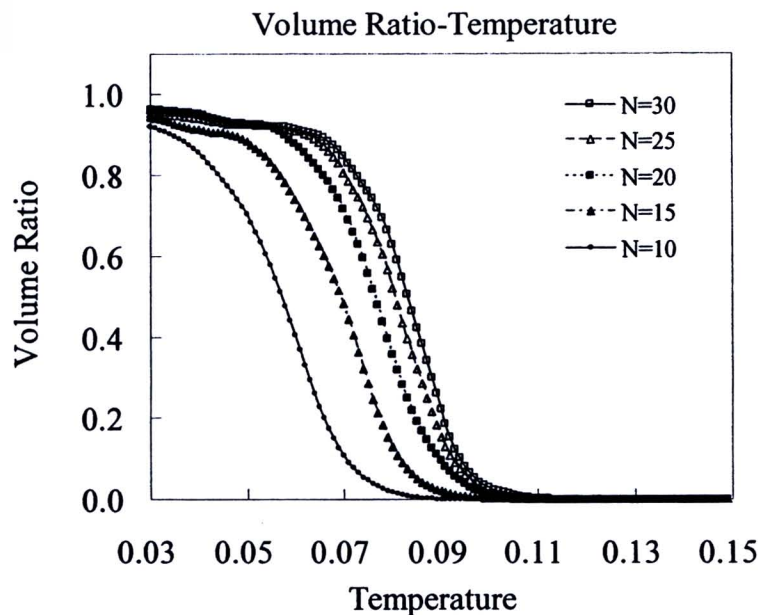
จากรูป 4.3 อุณหภูมิที่สภารับไว้ได้ทางแม่เหล็กมีค่าสูงสุดซึ่งอุณหภูมิวิกฤตเป็นของระบบที่มีจำนวนอนุภาคเท่ากับ 10, 15, 20, 25 และ 30 ตัว มีค่าเท่ากับ  $0.230 \text{ } K/k_B$ ,  $0.240 \text{ } K/k_B$ ,  $0.250 \text{ } K/k_B$ ,  $0.250 \text{ } K/k_B$  และ  $0.265 \text{ } K/k_B$  ตามลำดับ ซึ่งเมื่อนำอุณหภูมิ ณ จุดที่สภารับไว้ได้ทางแม่เหล็กมีค่าสูงสุดของระบบที่มีจำนวนอนุภาคต่างกันมาเขียนกราฟความสัมพันธ์ดังแสดงในรูป 4.4 ทำให้สามารถสร้างเส้นแนวโน้มเชิงเส้น (Linear trend line) มีประโยชน์ในการคำนวณอุณหภูมิวิกฤตของระบบที่มีอุณหภูมิสูงขึ้นได้ โดยมีสมการเส้นแนวโน้มคือ  $T_c = 0.0016N + 0.215$  และมีค่า R-square เท่ากับ 0.9412



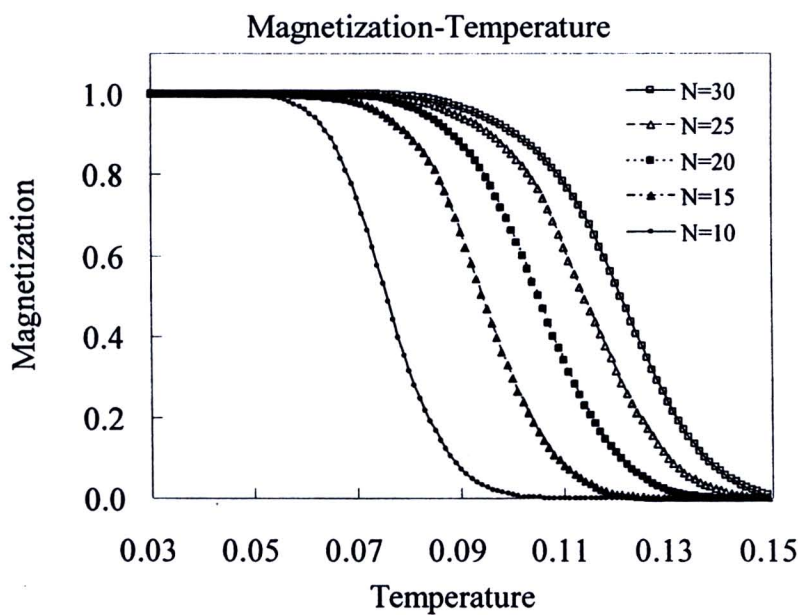
รูป 4.4 กราฟแสดงความสัมพันธ์ของอุณหภูมิวิกฤตกับจำนวนอนุภาคในระบบ ของระบบที่ใช้ศักย์ค่าเสื่อม่อน

ซึ่งผลการจำลองสถานการณ์ที่ได้นั้นมีลักษณะการเปลี่ยนแปลงสอดคล้องกับการใช้ศักย์ Lennard-Jones ที่เป็นการจำลองสถานการณ์ในช่วงอุณหภูมิเท่ากับ  $0.03 \text{ } \epsilon/k_B$  ถึง  $0.15 \text{ } \epsilon/k_B$  โดยมี  $\epsilon=1$  เป็นตัวแปรพลังงานอุณหภูมิจึงมีหน่วยเป็น  $\epsilon/k_B$  ผลที่ได้เป็นการเฉลี่ยจากข้อมูลของการจำลองสถานการณ์ 100 ครั้ง

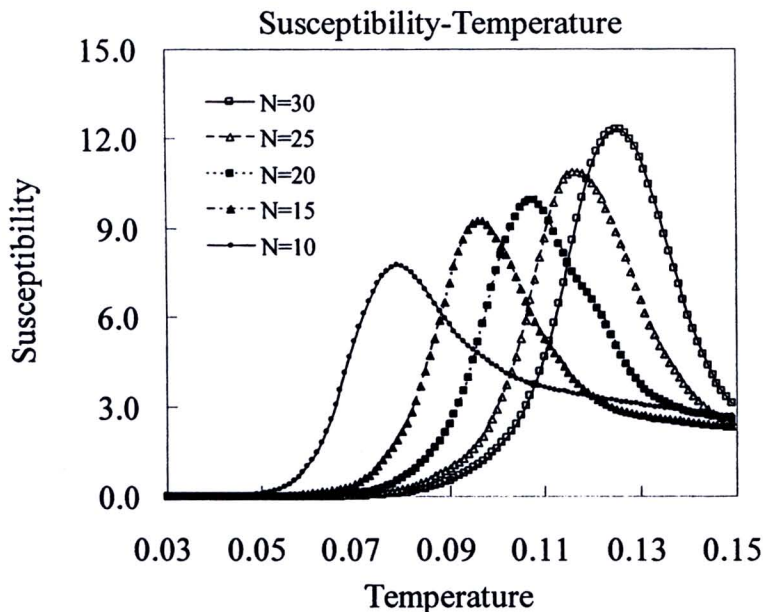
เนื่องจากเป็นศักย์ต่างชนิดกัน การตอบสนองของแรงระหว่างอนุภาคจึงเกิดในช่วงอุณหภูมิแตกต่างกัน ผลของการจำลองสถานการณ์โดยใช้ศักย์ของ Lennard-Jones จะได้ความสัมพันธ์ของสัดส่วนปริมาตร, สภาพแม่เหล็ก และ สภาพรับไว้ได้ทางแม่เหล็ก ดังแสดงในรูป 4.5 ถึงรูป 4.7



รูป 4.5 กราฟแสดงความสัมพันธ์ของสัดส่วนปริมาตร (Volume ratio) กับ อุณหภูมิ ในช่วง  $0.05 K/k_B$  ถึง  $0.40 K/k_B$  ของระบบที่มีจำนวนอนุภาคเท่ากับ 10, 15, 20, 25 และ 30 ตัว โดยใช้ศักย์ของ Lennard-Jones

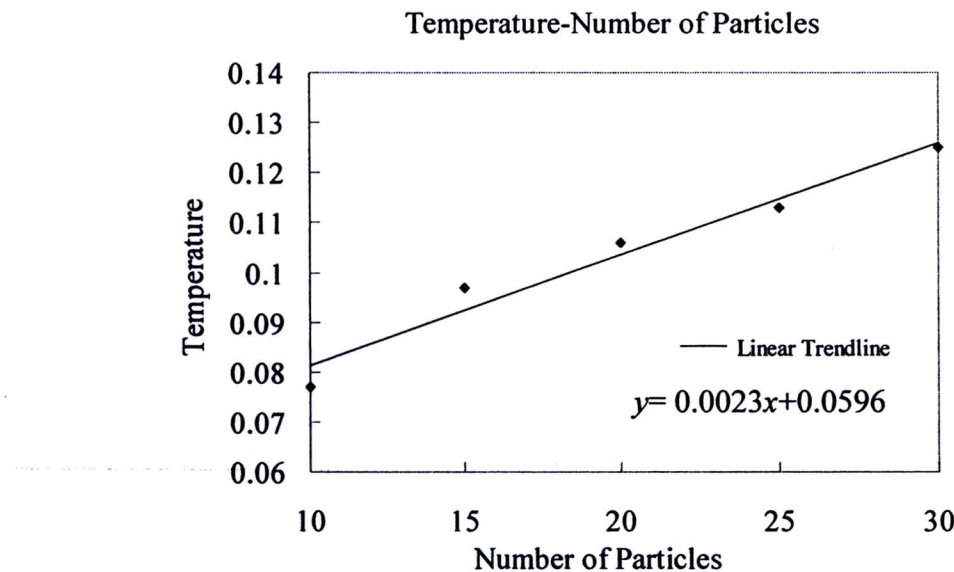


รูป 4.6 กราฟแสดงความสัมพันธ์ของสภาพแม่เหล็กของระบบ (Magnetization) กับ อุณหภูมิในช่วง  $0.05 K/k_B$  ถึง  $0.40 K/k_B$  ของระบบที่มีจำนวนอนุภาคเท่ากับ 10, 15, 20, 25 และ 30 ตัว โดยใช้ศักย์ของ Lennard-Jones



รูป 4.7 กราฟแสดงความสัมพันธ์ของสภาพรับໄว้ได้ทางแม่เหล็กของระบบ (Magnetic susceptibility) กับ อุณหภูมิในช่วง  $0.05 \text{ } K/k_B$  ถึง  $0.40 \text{ } K/k_B$  ของระบบที่มีจำนวนอนุภาคเท่ากับ 10, 15, 20, 25 และ 30 ตัว โดยใช้ศักย์ของ Lennard-Jones

ผลที่ได้มีลักษณะเหมือนกันคือ ที่อุณหภูมิที่ความชันของกราฟสัดส่วนปริมาตรมีค่ามากที่สุด จะเป็นอุณหภูมิที่สภาพแม่เหล็กของระบบเริ่มลดลง และเมื่ออุณหภูมิเพิ่มขึ้นจนสัดส่วนปริมาตรเป็นศูนย์ อุณหภูมนั้นจะใกล้เคียงกับอุณหภูมิวิกฤตของระบบ ซึ่งเป็นไปในลักษณะที่เหมือนกันกับการใช้ศักย์ข้าวสารเมื่อ่อนและเมื่อนำความสัมพันธ์ของอุณหภูมิวิกฤตกับจำนวนอนุภาคมาเขียนกราฟจะได้ดังรูป 4.8

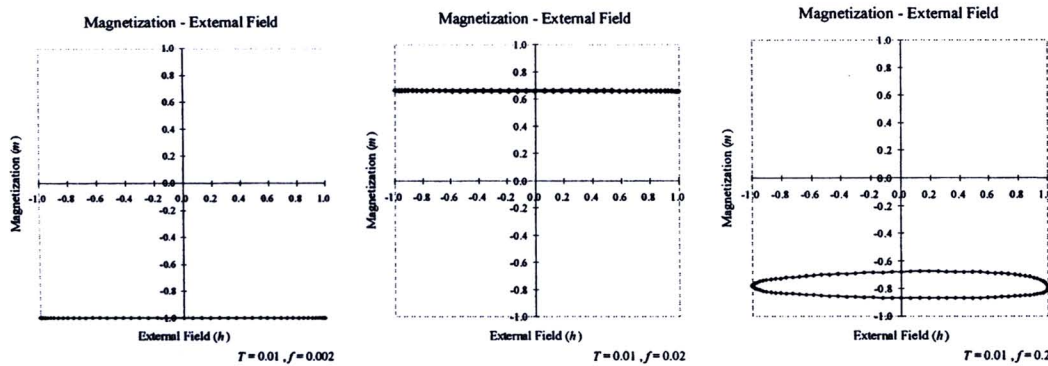


รูป 4.8 กราฟแสดงความสัมพันธ์ของอุณหภูมิวิกฤตกับจำนวนอนุภาคในระบบ ของระบบที่ใช้ศักย์ของ Lennard-Jones

จากรูป 4.8 เมื่อเขียนเส้นแนวโน้มเชิงเส้นของความสัมพันธ์ของอุณหภูมิวิกฤตกับจำนวนอนุภาคในระบบ ได้เส้นแนวโน้มคือ  $T_c = 0.0023N + 0.0596$  และมีค่า R-square เท่ากับ 0.9786

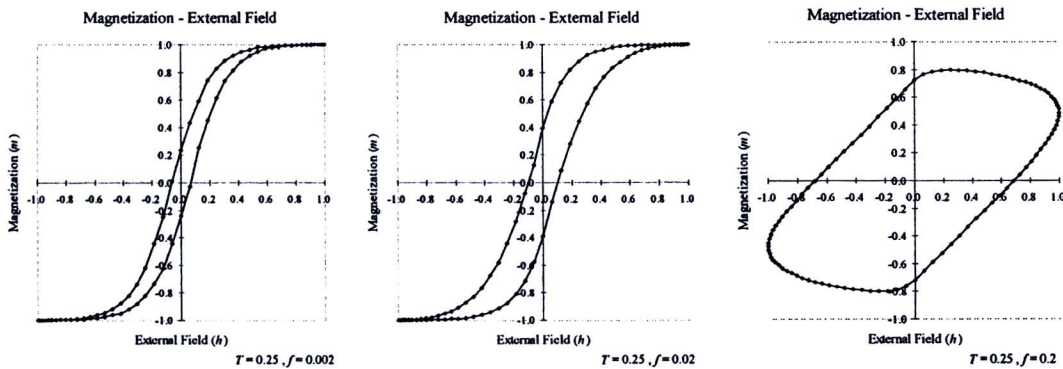
#### 4.2 ระบบการแพรวของอนุภาคแม่เหล็กที่มีการเปลี่ยนแปลงสนามแม่เหล็กภายนอก

จากการจำลองสถานการณ์ของระบบที่ไม่มีสนามแม่เหล็กภายนอกน้ำหนักระบบพบว่า ระบบที่ประกอบด้วยอนุภาคแม่เหล็กจำนวน 20 อนุภาคจะมีอุณหภูมิวิกฤตอยู่ที่  $0.25 \text{ K}/k_B$  ดังนั้น อุณหภูมิที่เลือกใช้ในการจำลองสถานการณ์ที่มีการเปลี่ยนแปลงสนามแม่เหล็กภายนอกนี้คือ อุณหภูมิที่ต่ำกว่า, เท่ากัน, และสูงกว่า  $0.25 \text{ K}/k_B$  และเปลี่ยนแปลงความถี่ของสนามแม่เหล็กภายนอก 3 ระดับดังแสดงในรูป 4.9 ถึงรูป 4.14



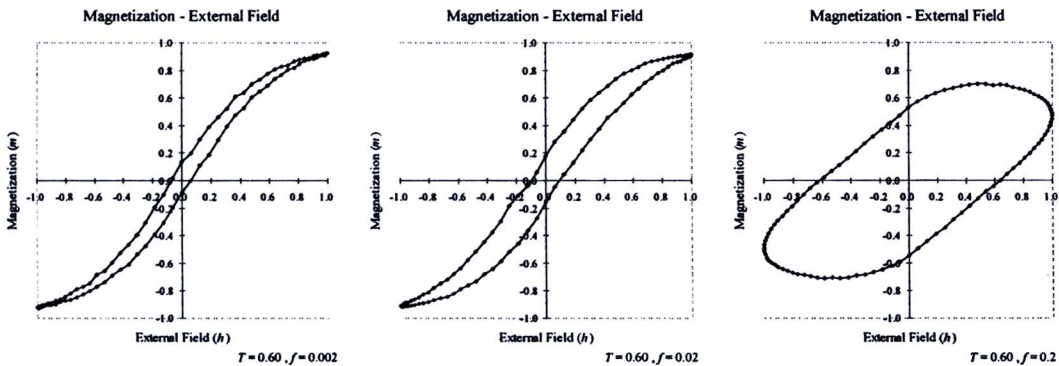
รูป 4.9 กราฟเปรียบเทียบการเปลี่ยนแปลงความถี่ของสนามแม่เหล็กภายนอกซึ่งมีค่าเท่ากับ  $0.002 \text{ MCS}^{-1}$ ,  $0.02 \text{ MCS}^{-1}$  และ  $0.2 \text{ MCS}^{-1}$  ของระบบที่มีจำนวนอนุภาค 20 ตัว ที่อุณหภูมิเท่ากับ  $0.01 \text{ } K/k_B$  โดยใช้ศักย์ค่าเส้นเมื่อน

จากรูป 4.9 การเปรียบเทียบการเปลี่ยนแปลงความถี่ของสนามแม่เหล็กภายนอกของระบบที่มีอุณหภูมิ  $0.01 \text{ } K/k_B$  และความถี่เท่ากับ  $0.002 \text{ MCS}^{-1}$  สภาพแม่เหล็กของระบบไม่เปลี่ยนแปลง เพราะอุณหภูมิของระบบต่ำมาก และการเปลี่ยนแปลงสนามแม่เหล็กภายนอกเป็นไปอย่างช้าๆ ทำให้ออนุภาคในระบบที่เกาะกันแน่นมีเวลาในการปรับทิศของสปินเนื่องจากการเหนี่ยวนำกันเองของกลุ่มอนุภาค การเหนี่ยวนำของเปลี่ยนแปลงสนามแม่เหล็กภายนอกจึงไม่สามารถเปลี่ยนแปลงสภาพแม่เหล็กของระบบได้ แต่เมื่อเพิ่มความถี่เพิ่มขึ้นเป็น  $0.02 \text{ MCS}^{-1}$  และ  $0.2 \text{ MCS}^{-1}$  ทำให้สปินบางส่วนของอนุภาคในระบบปรับตัวตามการเหนี่ยวนำของกลุ่มอนุภาคไม่ทันแต่ส่วนใหญ่ยังคงซื้อไปในทิศทางเดียวกันจึงทำให้เกิดลักษณะที่ค่าสภาพแม่เหล็กเป็นบวกหรือลบอย่างเดียว



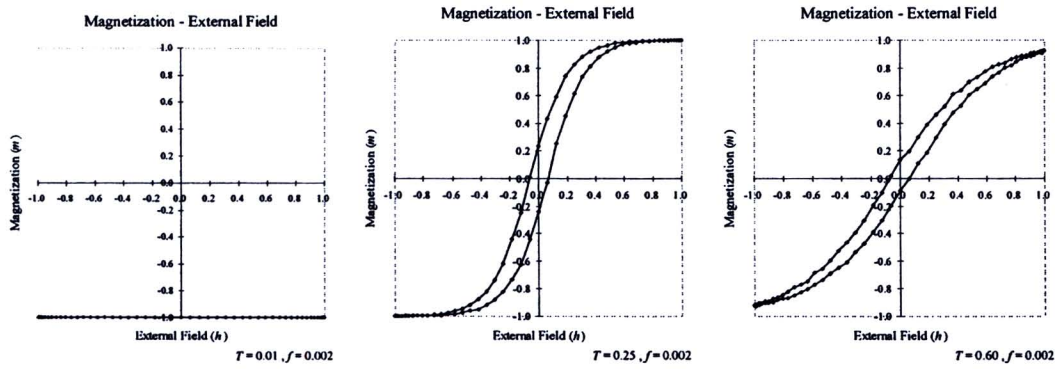
รูป 4.10 กราฟเปรียบเทียบการเปลี่ยนแปลงความถี่ของสนามแม่เหล็กภายนอกซึ่งมีค่าเท่ากับ  $0.002 \text{ MCS}^{-1}$ ,  $0.02 \text{ MCS}^{-1}$  และ  $0.2 \text{ MCS}^{-1}$  ของระบบที่มีจำนวนอนุภาค 20 ตัว ที่ อุณหภูมิเท่ากับ  $0.25 \text{ K}/k_B$  โดยใช้คักขุนคาวาสมีอ่อน

จากรูป 4.10 การเปรียบเทียบการเปลี่ยนแปลงความถี่ของสนามแม่เหล็กภายนอกของระบบที่ มีอุณหภูมิ  $0.25 \text{ K}/k_B$  ซึ่งมีค่าเท่ากับอุณหภูมิวิกฤตของระบบที่มีจำนวน 20 อนุภาค จะเกิดวงรอบ ชิตเทอร์ซิสขึ้น โดยที่ความถี่  $0.002 \text{ MCS}^{-1}$  จะพบว่าวงรอบชิตเทอร์ซิสมีลักษณะแคบ แสดงถึง การเปลี่ยนแปลงของสภาพแม่เหล็กของระบบตามทันการเปลี่ยนแปลงของสนามแม่เหล็กภายนอก ทำให้ความต่างเฟสของการเปลี่ยนแปลงของสภาพแม่เหล็กของระบบกับการเปลี่ยนแปลงของ สนามแม่เหล็กภายนอก มีค่าน้อย และเมื่อเพิ่มความถี่เป็น  $0.02 \text{ MCS}^{-1}$  พื้นที่ได้กราฟของวงรอบชิต เทอร์ซิสเพิ่มขึ้นเนื่องจากความถี่ของสนามแม่เหล็กภายนอกมากขึ้นทำให้สภาพแม่เหล็กตอบสนอง ได้ช้าลง จึงเกิดความต่างเฟสมากขึ้น และเมื่อเพิ่มความถี่เป็น  $0.2 \text{ MCS}^{-1}$  สภาพแม่เหล็กของระบบ จึงตามการเปลี่ยนแปลงของสนามแม่เหล็กภายนอกไม่ทัน เป็นสาเหตุให้ค่าของสภาพแม่เหล็กไม่ ขึ้นไปถึงจุดอิ่มตัวเกิดเป็นวงรอบชิตเทอร์ซิสที่มีรูปร่างไม่สมบูรณ์ เนื่องจากความต่างเฟสมาก



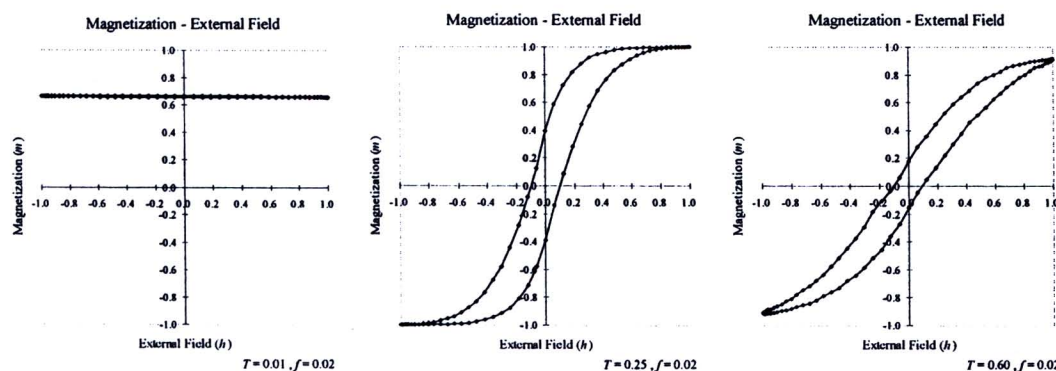
รูป 4.11 กราฟเปรียบเทียบการเปลี่ยนแปลงความถี่ของสนามแม่เหล็กภายนอกซึ่งมีค่าเท่ากับ  $0.002 \text{ MCS}^{-1}, 0.02 \text{ MCS}^{-1}$  และ  $0.2 \text{ MCS}^{-1}$  ของระบบที่มีจำนวนอนุภาค 20 ตัว ที่ อุณหภูมิเท่ากับ  $0.6 \text{ } K/k_B$  โดยใช้ศักย์ข้าวเสริม่อน

จากรูป 4.11 การเปรียบเทียบการเปลี่ยนแปลงความถี่ของสนามแม่เหล็กภายนอกของระบบที่ มีอุณหภูมิ  $0.6 \text{ } K/k_B$  ผลลัพธ์ของวงรอบชิสเทอร์ชิสที่ได้คล้ายกัน ที่อุณหภูมิ  $0.25 \text{ } K/k_B$  สิ่งที่ แตกต่างกันคือ ค่าของสภาพแม่เหล็กของระบบขึ้นไปไม่ถึงจุดอิ่มตัว และ ความชันของวงรอบชิส เทอร์ชิสที่อุณหภูมิ  $0.6 \text{ } K/k_B$  น้อยกว่าของวงรอบชิสเทอร์ชิสที่อุณหภูมิ  $0.25 \text{ } K/k_B$  สาเหตุของการ ที่ค่าของสภาพแม่เหล็กขึ้นไปไม่ถึงจุดอิ่มตัวแม้ว่าสนามแม่เหล็กภายนอกของระบบจะมีค่าสูงสุด แล้วและความถี่ของสนามแม่เหล็กมีค่าต่ำเพียงพอที่สภาพแม่เหล็กจะเปลี่ยนแปลงทันคืออุณหภูมิที่ สูง ทำให้ออนุภาคในระบบแตกตัวไม่จับกลุ่มกัน ส่งผลให้ออนุภาคบางตัวที่มีพลังงานสูงเนื่องจาก อุณหภูมิที่สูง มีการกลับทิศสปินโดยไม่ถูกเหนี่ยวนำโดยสนามแม่เหล็กภายนอกทำให้สภาพ แม่เหล็กมีค่าไม่ถึง 1 หรือ -1 และสาเหตุที่ความชันของวงรอบชิสเทอร์ชิสมีค่าน้อยกว่า เพราะ สภาพของอนุภาคที่แตกตัวเนื่องจากอุณหภูมิที่สูงทำให้แรงเหนี่ยวนำกันเองของอนุภาคมีค่าน้อย การด้านท่านการเปลี่ยนแปลงของสภาพแม่เหล็กจึงลดลง สภาพแม่เหล็กจึงค่อยๆ เปลี่ยนแปลงไป ตามการเปลี่ยนแปลงของสนามแม่เหล็กภายนอก ความชันของวงรอบชิสเทอร์ชิสจึงลดลง



รูป 4.12 กราฟเปรียบเทียบการเปลี่ยนแปลงอุณหภูมิซึ่งมีค่าเท่ากับ  $0.1 \text{ } K/k_B$ ,  $0.25 \text{ } K/k_B$  และ  $0.6 \text{ } K/k_B$  ของระบบที่มีจำนวนอนุภาค 20 ตัว ที่ความถี่ของสนามแม่เหล็กภายในออกเท่ากับ  $0.002 \text{ } \text{MCS}^{-1}$  โดยใช้ศักย์ข้าวสารเมื่อ่อน

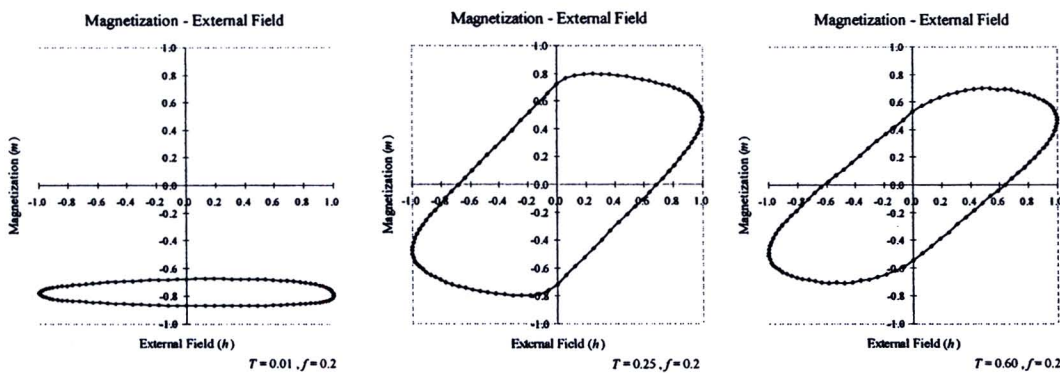
จากรูป 4.12 จะทราบว่าที่ความถี่น้อยๆ การเพิ่มอุณหภูมิเพื่อจะกระตุ้นให้เกิดการเปลี่ยนแปลงของสภาพแม่เหล็กได้เนื่องมาพลังงานของอนุภาคมีค่ามากขึ้น แต่เมื่ออุณหภูมิเพิ่มต่อการเปลี่ยนแปลงของพื้นที่ได้กราฟนั้น พบว่าพื้นที่ได้กราฟไม่แตกต่างกันมากเมื่อทำการเพิ่มอุณหภูมิจาก  $0.25 \text{ } K/k_B$  เป็น  $0.60 \text{ } K/k_B$



รูป 4.13 กราฟเปรียบเทียบการเปลี่ยนแปลงอุณหภูมิซึ่งมีค่าเท่ากับ  $0.1 \text{ } K/k_B$ ,  $0.25 \text{ } K/k_B$  และ  $0.6 \text{ } K/k_B$  ของระบบที่มีจำนวนอนุภาค 20 ตัว ที่ความถี่ของสนามแม่เหล็กภายในออกเท่ากับ  $0.02 \text{ } \text{MCS}^{-1}$  โดยใช้ศักย์ข้าวสารเมื่อ่อน

จากรูป 4.13 ระบบซึ่งมีความถี่เป็น  $0.02 \text{ } \text{MCS}^{-1}$  ซึ่งมีค่ามากขึ้นกว่าความถี่ที่ใช้ในรูป 4.12 พบว่าที่อุณหภูมิต่ำ บางคงไม่มีการเปลี่ยนแปลงของสภาพแม่เหล็กของระบบแม้ว่าสนามแม่เหล็กภายในจะมีการเปลี่ยนแปลง แต่เมื่อเพิ่มอุณหภูมิสภาพแม่เหล็กจึงจะมีการเปลี่ยนแปลงได้ไปตาม

สนามแม่เหล็กภายในออกໄດ້ ແຕ່ຄວາມແຕກຕ່າງຂອງພື້ນທີ່ໄດ້ກາງວຽກຮອບອິສເຫຼວຣິສັກໍຍັງໄມ່ຕ່າງກັນນາກຈະເໜີນໄດ້ຂັດທີ່ອຸປະກຸມສູງໆ



ຮູບ 4.14 ການໂປຣີບນໍາທີ່ການເປີ່ຍນແປລ່ງອຸປະກຸມໃໝ່ມີຄ່າເທົ່າກັນ  $0.1 \text{ } K/k_B$ ,  $0.25 \text{ } K/k_B$  ແລະ  $0.6 \text{ } K/k_B$  ຂອງຮະບນທີ່ມີຈຳນວນອນຸກາຄ 20 ຕັ້ງ ທີ່ຄວາມຄືຂອງສານມັນແຫຼັກກາຍນອກເທົ່າກັນ  $0.2 \text{ } \text{MCS}^{-1}$  ໂດຍໃຊ້ສັກຍູຄວາມສົມອືນ

ຈາກຮູບ 4.14 ທີ່ຄວາມຄືສູງຄື່ອງ  $0.2 \text{ } \text{MCS}^{-1}$  ສາພມັນແຫຼັກຂອງຮະບນບັນຈາກໄຟວິວດັນດາການເປີ່ຍນແປລ່ງຂອງສານມັນແຫຼັກກາຍນອກນັກນັກທີ່ອຸປະກຸມຕໍ່າໆ ແລະເມື່ອເພີ່ມອຸປະກຸມໃໝ່ພື້ນທີ່ໄດ້ກາງວຽກຮອບນັກນັກເປີ່ຍນແປລ່ງໄໝ່ນາກເໜືອນທີ່ຄວາມຄືນ້ອຍໆ

ດັ່ງນັ້ນການເພີ່ມອຸປະກຸມຈຶ່ງເປັນເພີ່ມການກະຕຸນໃຫ້ສາພມັນແຫຼັກສາມາດເປີ່ຍນແປລ່ງຕາມສານມັນແຫຼັກກາຍນອກໄດ້ເທົ່ານັ້ນ ໂດຍໄໝໄວ້ໄດ້ມີຜົດຕ່ອງການເພີ່ມໃໝ່ທີ່ກ່ອນຈະເປັນເພີ່ມຕ່ອງພື້ນທີ່ໄດ້ກາງວຽກຮອບນັກນັກ

ດັ່ງນັ້ນຈະເໜີນໄດ້ວ່າ ການເປີ່ຍນແປລ່ງຄວາມຄືຈະມີຜົດຕ່ອງພື້ນທີ່ໄດ້ກາງວຽກຮອບນັກນັກ

ເງື່ອນໄຂຂອງອຸປະກຸມແລະຄວາມຄືຈະໄໝ່ພົດທີ່ແຕກຕ່າງກັນດັ່ງນີ້(ໜ້າວຍຂອງພື້ນທີ່ໄດ້ກາງວຽກຮອບນັກນັກ  
ເປັນ  $K$  ຊື່ເປັນໜ້າວຍຂອງຄ່າຄົງທີ່ພລັງຈານຂອງສັກຍູຄວາມໄໝໃໝ່ເຄລວິນ)

ຕາງານ 4.1 ພື້ນທີ່ໄດ້ກາງວຽກຮອບອິສເຫຼວຣິສັກໍຍັງໄມ່ຕ່າງກັນນາກຈະເໜີນໄດ້ກາງວຽກຮອບອິສເຫຼວຣິສັກໍຍັງໄມ່ຕ່າງກັນນາກ

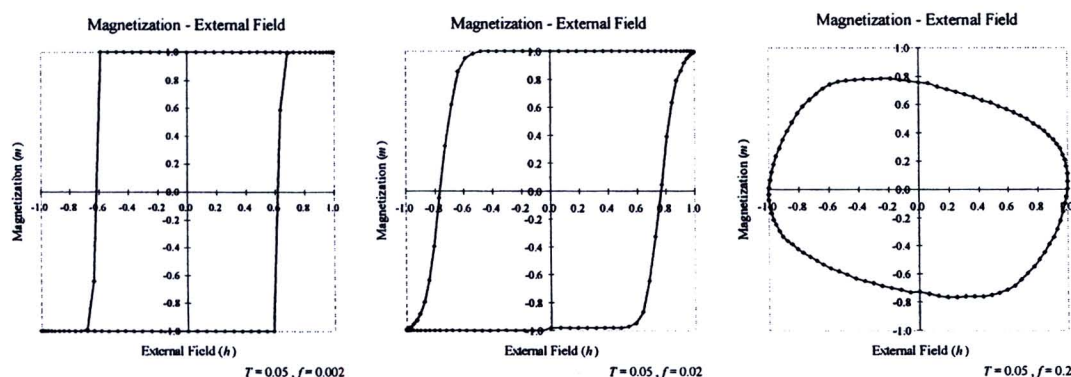
|                           | $f = 0.002 \text{ MCS}^{-1}$ | $f = 0.02 \text{ MCS}^{-1}$ | $f = 0.2 \text{ MCS}^{-1}$ |
|---------------------------|------------------------------|-----------------------------|----------------------------|
| $T = 0.01 \text{ } K/k_B$ | $0 \text{ } K$               | $-0.0214 \text{ } K$        | $-0.3122 \text{ } K$       |
| $T = 0.25 \text{ } K/k_B$ | $-0.2426 \text{ } K$         | $-0.4806 \text{ } K$        | $-1.8508 \text{ } K$       |
| $T = 0.60 \text{ } K/k_B$ | $-0.2093 \text{ } K$         | $-0.3979 \text{ } K$        | $-1.5058 \text{ } K$       |

จากตาราง 4.1 จะเห็นได้ชัดว่าเมื่อมองการเปลี่ยนแปลงความถี่แต่ไม่เปลี่ยนแปลงอุณหภูมิ การเปลี่ยนแปลงพื้นที่ใต้กราฟจะเห็นได้ชัดเจน ในขณะที่การเปลี่ยนแปลงอุณหภูมิอย่างเดียวไม่ได้ทำให้พื้นที่ใต้กราฟเปลี่ยนแปลงมากนัก

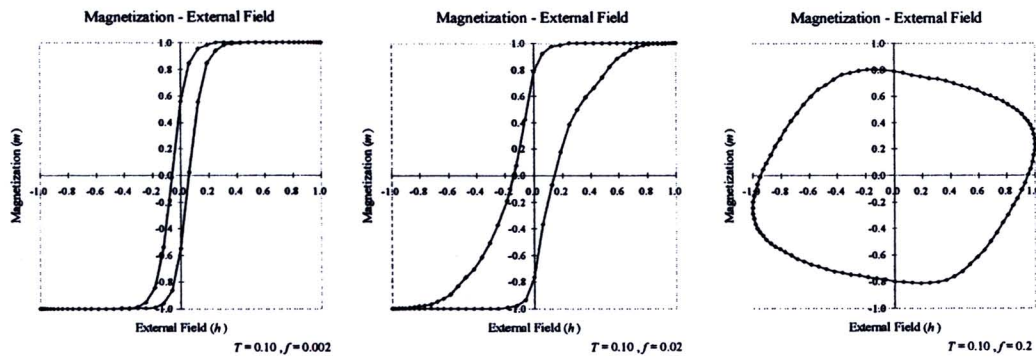
ผลที่ได้แสดงให้เห็นว่าการเปลี่ยนแปลงความถี่และอุณหภูมิทำให้สามารถควบคุมพื้นที่ใต้วงรอบ希สเทอร์ซิสได้ แสดงว่าสามารถควบคุมความร้อนที่เกิดขึ้นได้ซึ่งจะมีประโยชน์ในการ การแพทย์ด้านการรักษาเนื่องจากคัวคงใช้สารแม่เหล็กเป็นแหล่งความร้อนในการทำลายเนื้องอก

ผลที่ได้จากการจำลองสถานการณ์โดยใช้ศักย์คาวา ให้ผลไปในทิศทางเดียวกันกับการจำลองสถานการณ์ที่ใช้ศักย์ของ Lennard-Jones ซึ่งเป็นการเฉลี่ยค่าสภาพแม่เหล็กจากวงรอบ希สเทอร์ซิส 200 วง แต่อุณหภูมิแตกต่างกันเนื่องจากเป็นศักย์คง常ชนิดกัน ผลการจำลองสถานการณ์ของวงรอบ希สเทอร์ซิสที่เกิดจากศักย์ของ Lennard-Jones ดังแสดงในรูป 4.15 ถึง รูป 4.20

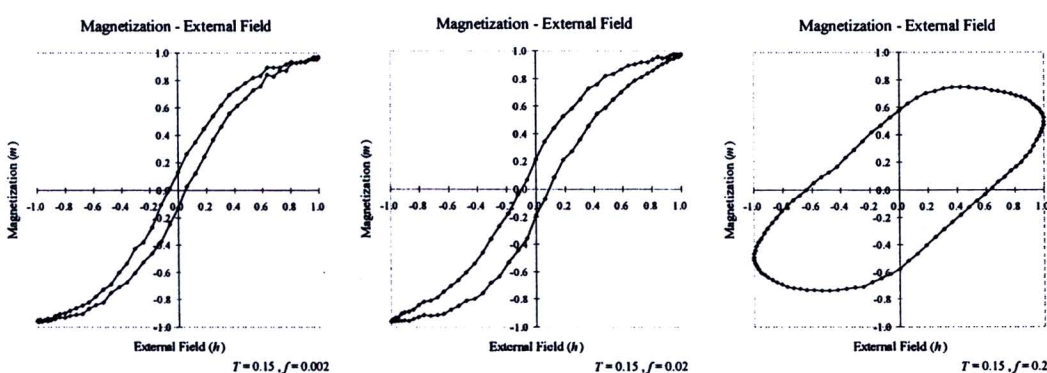
จากรูป 4.15 ถึง รูป 4.17 เป็นการเปรียบเทียบกราฟเมื่อความถี่ของสนามแม่เหล็กภายนอกมี การเปลี่ยนแปลงในขณะที่อุณหภูมนิ่วค่าคงที่ พนวจณาที่ความถี่สูงขึ้นการเหลื่อมล้ำของเฟสการเปลี่ยนแปลงสภาพแม่เหล็กเทียบการเปลี่ยนแปลงสนามแม่เหล็กภายนอกจะมากขึ้นทำให้พื้นที่ใต้กราฟวงรอบ希สเทอร์ซิสมีการเปลี่ยนแปลงอย่างเห็นได้ชัดซึ่งมีลักษณะเดียวกันกับเมื่อใช้ศักย์คาวา ในการคำนวณ



รูป 4.15 กราฟเปรียบเทียบการเปลี่ยนแปลงความถี่ของสนามแม่เหล็กภายนอกซึ่งมีค่าเท่ากับ  $0.002 \text{ MCS}^{-1}$ ,  $0.02 \text{ MCS}^{-1}$  และ  $0.2 \text{ MCS}^{-1}$  ของระบบที่มีจำนวนอนุภาค 20 ตัว ที่ อุณหภูมิเท่ากับ  $0.05 \text{ K}/k_B$  โดยใช้ศักย์ Lennard-Jones



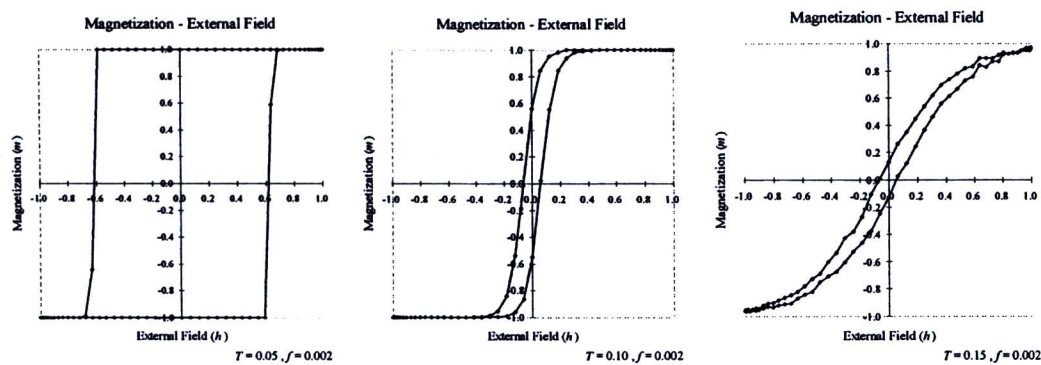
รูป 4.16 กราฟเปรียบเทียบการเปลี่ยนแปลงความถี่ของสนามแม่เหล็กภายนอกซึ่งมีค่าเท่ากับ  $0.002 \text{ MCS}^{-1}, 0.02 \text{ MCS}^{-1}$  และ  $0.2 \text{ MCS}^{-1}$  ของระบบที่มีจำนวนอนุภาค 20 ตัว ที่ อุณหภูมิเท่ากับ  $0.10 \text{ } K/k_B$  โดยใช้ศักย์ Lennard- Jones



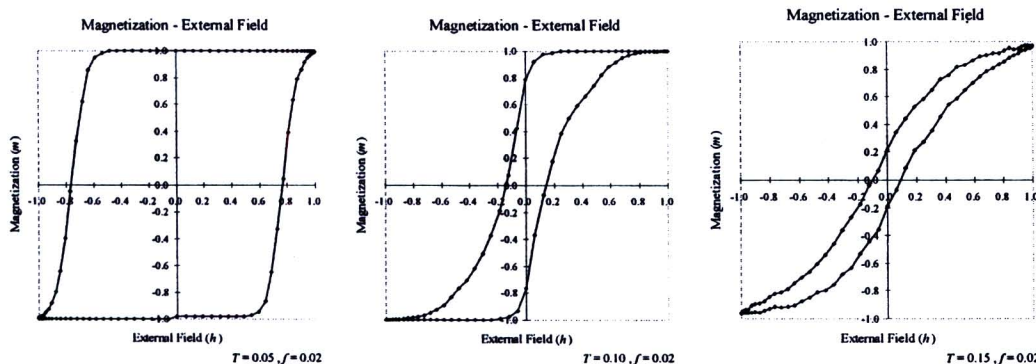
รูป 4.17 กราฟเปรียบเทียบการเปลี่ยนแปลงความถี่ของสนามแม่เหล็กภายนอกซึ่งมีค่าเท่ากับ  $0.002 \text{ MCS}^{-1}, 0.02 \text{ MCS}^{-1}$  และ  $0.2 \text{ MCS}^{-1}$  ของระบบที่มีจำนวนอนุภาค 20 ตัว ที่ อุณหภูมิเท่ากับ  $0.15 \text{ } K/k_B$  โดยใช้ศักย์ Lennard- Jones



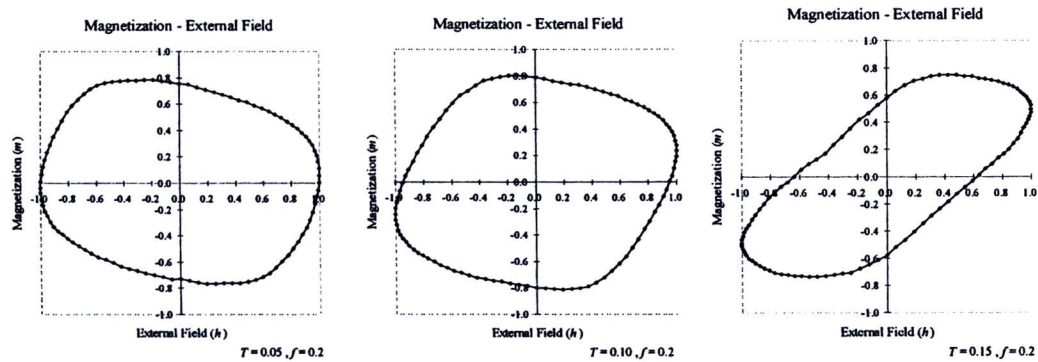
จากรูป 4.18 ถึง รูป 4.20 เป็นการเปรียบเทียบกราฟเมื่ออุณหภูมนิการเปลี่ยนแปลงในขณะที่ความถี่ของสนามแม่เหล็กภายในออกมีค่าคงที่ พนวจณาที่อุณหภูมิสูงขึ้นการเหลื่อมล้ำที่อุณหภูมิค่าอาจจะมากแต่เมื่ออุณหภูมิสูงขึ้นการเหลื่อมล้ำน้อยลง และเปลี่ยนแปลงไม่มากเมื่ออุณหภูมิสูงขึ้น อีก แต่ความชันของการเปลี่ยนแปลงสภาพแม่เหล็กจะน้อยลงซึ่งแสดงให้เห็นว่าการเหนี่ยวแน่ระหว่างกันมีผลน้อยลงด้วย



รูป 4.18 กราฟเปรียบเทียบการเปลี่ยนแปลงอุณหภูมิซึ่งมีค่าเท่ากับ  $0.05 \text{ } K/k_B$ ,  $0.10 \text{ } K/k_B$  และ  $0.15 \text{ } K/k_B$  ของระบบที่มีจำนวนอนุภาค 20 ตัว ที่ความถี่ของสนามแม่เหล็กภายในออกเท่ากับ  $0.002 \text{ MCS}^{-1}$  โดยใช้ศักย์ Lennard-Jones



รูป 4.19 กราฟเปรียบเทียบการเปลี่ยนแปลงอุณหภูมิซึ่งมีค่าเท่ากับ  $0.05 \text{ } K/k_B$ ,  $0.10 \text{ } K/k_B$  และ  $0.15 \text{ } K/k_B$  ของระบบที่มีจำนวนอนุภาค 20 ตัว ที่ความถี่ของสนามแม่เหล็กภายในออกเท่ากับ  $0.02 \text{ MCS}^{-1}$  โดยใช้ศักย์ Lennard-Jones



รูป 4.20 กราฟเปรียบเทียบการเปลี่ยนแปลงอุณหภูมิซึ่งมีค่าเท่ากับ  $0.05 \text{ } K/k_B$ ,  $0.10 \text{ } K/k_B$  และ  $0.15 \text{ } K/k_B$  ของระบบที่มีจำนวนอนุภาค 20 ตัว ที่ความถี่ของสนาณแม่เหล็กภายในออกเท่ากับ  $0.2 \text{ MCS}^{-1}$  โดยใช้ศักย์ Lennard- Jones

สรุปได้ว่าการเปลี่ยนแปลงความถี่จะมีผลทำให้การตอบสนองของสภาพแม่เหล็กโดยรวมเปลี่ยนแปลงส่งผลต่อการเหลื่อมล้ำของเฟสการเปลี่ยนแปลงมาก และการเปลี่ยนแปลงอุณหภูมิจะทำให้การตอบสนองของอนุภาคแต่ละตัวในระบบต่อการเปลี่ยนแปลงของสนาณมีการเปลี่ยนแปลงส่งผลให้เกิดการเปลี่ยนแปลงตามสนาณแม่เหล็กภายในออกได้แม้ความถี่จะน้อย ซึ่งผลของการใช้ศักย์ของyx คาวา และศักย์ของ Lennard-Jones มีคล้ายคลึงกัน